

·论著·

人尿液中 CTX - II 与 Zn²⁺、Ca²⁺ 浓度对膝关节骨关节炎诊断价值的研究

区权利¹ 辛林伟^{2*} 王锐英² 唐际存² 陈蕾¹

1. 桂林医学院附属医院,桂林 541001

2. 桂林医学院附属医院骨科,桂林 541001

中图分类号: R684.3 文献标识码: A 文章编号: 1006-7108(2015) 11-1342-05

摘要: 目的 探讨膝关节骨关节炎(KOA)患者尿液中 CTX - II 与 Zn²⁺、Ca²⁺浓度与其病变程度的关系。方法 收集 82 例 KOA 组和 20 例对照组的尿液标本及膝关节正侧位影像学资料,采用 Kellgren-Lawrence 放射学分级标准对 KOA 组的影像学表现分级,分为 I 级组、II 级组、III 级组及 IV 级组。采用酶联免疫吸附试验(ELISA)检测尿液中 CTX-II、ICP-AES 测定 Zn²⁺、Ca²⁺浓度。结果 KOA 组尿液中 CTX-II 与 Zn²⁺、Ca²⁺浓度高于对照组($P < 0.001$)。CTX - II 水平:IV 组 > III 组 > II 组 > I 组和对照组($P = 0.000$)。Zn²⁺、Ca²⁺浓度:IV 组、III 组、II 组、I 组 > 对照组($P = 0.000$)。结论 CTX-II 升高水平与 KOA 的影像学分级平行,两者呈高度正相关性。Zn²⁺、Ca²⁺升高水平与 KOA 的影像学分级并不平行。CTX-II 可作为区分 KOA 严重程度的标志物,但其作为早期诊断的价值有限,但与 Zn²⁺、Ca²⁺联合有望成为 KOA 的早期诊断指标。

关键词: 膝关节骨关节炎;尿液;Ⅱ型胶原;CTX-II;Zn²⁺;Ca²⁺

The study of the effect of type II collagen and Zn²⁺, Ca²⁺ in the human urine on the diagnosis of knee osteoarthritis

OU Quanli¹, XIN Linwei², WANG Ruiying², TANG Jicun², CHEN Lei¹

1. The Affiliated Hospital of Guilin Medical College, Guilin 541001, China

2. Department of Orthopedics, the Affiliated Hospital of Guilin Medical College, Guilin 541001, China

Corresponding author: XIN Linwei, Email: xinlinwei@hotmail.com

Abstract: **Objective** To discuss the relationship between the concentration of CTX-II, Zn²⁺, and Ca²⁺ in urine and the severity of knee osteoarthritis (KOA). **Methods** Eighty-two patients with KOA were chosen as KOA group, and twenty healthy volunteers were selected as control group. Urine and anteroposterior and lateral position X-ray films of the knee joint were collected. The images were classified according to Kellgren-Lawrence radiographic grading criterion. The patients were divided into grade I group, grade II group, grade III group, and grade IV group. The concentration of CTX-II in the urine was detected using enzyme-linked immunosorbent assay (ELISA). The concentrations of Zn²⁺ and Ca²⁺ in urine were detected using inductively coupled plasma atomic emission spectrometry (ICP-AES). **Results** The concentrations of CTX-II, Zn²⁺, and Ca²⁺ in KOA group were significantly higher than those in control group ($P < 0.001$), in a grade-dependent manner (group IV > group III > group II > group I > control group). **Conclusion** The increase of CTX-II is paralleled with the grade in X-ray image. They are highly correlated. The increase of Zn²⁺ and Ca²⁺ is not paralleled with the grade in X-ray image. CTX-II is a marker for the progress of KOA, but it has little help for early diagnosis for KOA. However, CTX-II combines with Zn²⁺ and Ca²⁺ may be helpful for the early diagnosis for KOA.

Key words: Knee osteoarthritis; Urine; Collagen type II; CTX-II; Zn²⁺; Ca²⁺

膝关节骨关节炎(Knee osteoarthritis, KOA)是

中老年人的常见病,根据流行病学调查,我国 50 岁以上的人群中,50% 患有骨关节病;65 岁以上的人群中 80% 女性和 70% 男性患有此病^[1]。目前诊断 KOA 多依据临床症状和影像学,这些手段往往不能

基金项目: 广西桂林市科学研究与技术开发计划项目基金资助(30130120-5)

* 通讯作者: 辛林伟,Email:xinlinwei@hotmail.com

及早作出诊断而导致严重后果。这与中国的国情有着一定关系,因为看病花费大,很多老百姓都是到了很严重的情况下才来看病。本研究寻求一条有利于及时干预疾病并且简便、经济、有效的诊断方法,摆脱大型影像设备和常规抽血,更适合大规模的普查,对 KOA 的诊疗进行指导。本研究是通过采用酶联免疫吸附试验(Enzyme-linked immunosorbent assay, ELISA)检测不同分级的膝关节患者尿液中 CTX-II 与采用电感耦合等离子体原子发射光谱(Inductively coupled plasma atomic emission spectrometry, ICP-AES)测定 Zn^{2+} 、 Ca^{2+} 浓度,探讨 CTX-II 与 Zn^{2+} 、 Ca^{2+} 浓度和膝关节退变影像学分级的关系。

1 研究对象与方法

1.1 研究对象

收集 2014 年 11 月至 2015 年 6 月在桂林医学

院附属医院门诊及住院膝关节疾病患者 82 例,志愿者 20 例,其一般资料如表 1。排除以下因素及疾病:①肝肾功能无异常,取样前避免过多进食海产品等含锌钙过高的食物^[2];②未服用影响激素及软骨代谢药物;③女性患者均绝经,避免尿液中 C2C 受雌激素影响^[3];④无髋关节、踝关节等其他关节的骨关节疾病症状,也无其他影响软骨代谢疾病,如强直性脊柱炎及类风湿关节炎。分级标准均符合 1986 年美国风湿病学会关于 KOA 的诊断标准,采用 Kellgren-Lawrence 放射学分级标准,0 级:正常;I 级:关节间隙可疑狭窄,可能有骨赘;II 级:明确的骨赘,关节间隙正常或可疑狭窄;III 级:中度骨赘,关节间隙明显狭窄,软骨下骨部分硬化,可能有畸形;IV 级:巨大骨赘,关节间隙明显狭窄,软骨下骨严重硬化,明确的畸形。

表 1 各组统计资料(计量资料用 $\bar{x} \pm s$)

Table 1 The statistical data in each group ($\bar{x} \pm s$)

组别	对照组	I 级组	II 级组	III 级组	IV 级组
例数	20	19	21	25	17
年龄(岁)	57.6 ± 6.1	56.7 ± 6.9	59.1 ± 5.9	59.9 ± 3.9	60.6 ± 4.8
性别(男/女)	8/12	9/10	10/11	11/14	8/9

1.2 方法

1.2.1 采用酶联免疫吸附法检测尿液中 CTX-II 水平:取清晨尿液 5~10 ml,2500 r/min 离心 20 min,取上清液,−80℃冰箱保存。CTX-II 水平检测:从−80℃冰箱取出尿液标本,在室温下解冻,解冻后 2500 R/min 离心 20 min。在酶标包被板上设标准品孔 10 孔,空白孔 1 个,其余加待测样品,稀释 5 倍,37℃温育 1 h,洗板 5 次,每孔加入酶标试剂 50 μl,空白孔除外,先后加入显色剂 A、B 各 50 μl,37℃避光显色 15 min,加入终止液,15 min 内在 450 nm 波长下测量各孔的吸光度值(OD 值),以 OD 为纵坐标绘制标准曲线,求出曲线方程,计算其中 CTX-II 含量,用 pg/ml 表示。

1.2.2 测量元素 Zn^{2+} 、 Ca^{2+} 浓度:从−80℃冰箱取出尿液标本,在室温下解冻,精确量取 2 ml,加 5% 的 HNO_3 ,稀释至 10 ml,充分混匀后由全谱直读等离子体光谱仪进样待测。全谱直读等离子体光谱仪工作条件:入射功率 1.1 kW,氩气流量 0.5 L·min,氩气冷却。测量元素 Zn^{2+} 、 Ca^{2+} 浓度,结果用 mg/L 表示。 Zn^{2+} 、 Ca^{2+} 浓度由两位专业技术人员用全谱直读等离子体光谱仪检测所得。

1.2.3 观察指标:所有影像学资料由 3 名医生采用 Kellgren-Lawrence 放射学分级,患者的尿液标本由两位专业技术人员用 ELISA 检测两次取平均值。

1.3 统计学处理

采用 SPSS18.0 统计学软件。计量资料以 $\bar{x} \pm s$ 表示,组间比较采用 t 检验,多组数据比较应用单因素方差分析,采用 LSD 检验, $P < 0.05$ 为差异有统计学意义。

2 结果

2.1 各组 CTX-II 浓度比较

KOA 组 CTX-II 水平 [(261.235 ± 39.944) pg/ml] 高于对照组 [(218.341 ± 22.270) pg/ml],($F = 43.722, P = 0.000$)。IV 组 > III 组 > II 组 > I 组和正常对照组,($F = 334.402, P = 0.000$)(图 1)。正常对照组与 I 级组差异无统计学意义($P > 0.05$)。

2.2 各组 Zn^{2+} 、 Ca^{2+} 浓度比较

KOA 组 Zn^{2+} 浓度 [(0.7000 ± 0.1736) mg/L] 高于对照组 [(0.3764 ± 0.2163) mg/L],($F = 53.401, P < 0.000$)。但各 KOA 组之间 $P > 0.05$ 。KOA 组 Ca^{2+} 浓度 [(204.3536 ± 71.6828) mg/L] 高于对照组

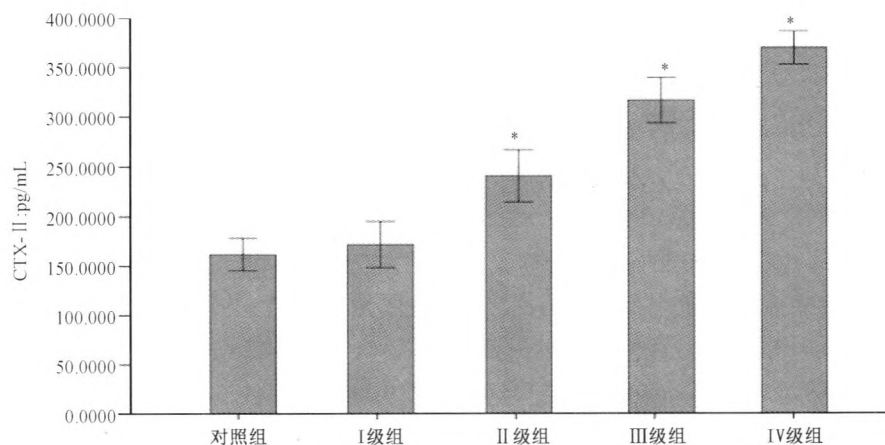


图1 对照组与各 KOA 组 CTX - II 浓度对比

* : 与对照组、I 级组相比 $P < 0.05$

Fig. 1 Comparison of the concentration of CTX-II in urine between control group and each KOA group.

* : compared with control group and group I, $P < 0.05$

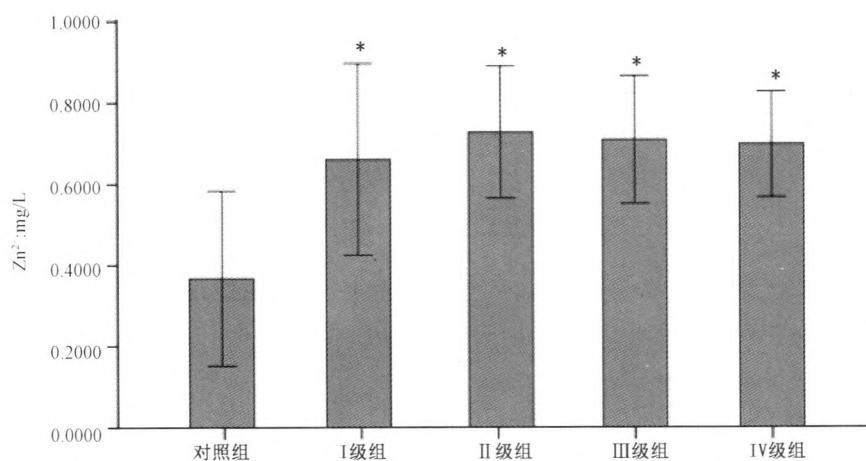


图2 对照组与各 KOA 组 Zn²⁺ 浓度对比

* : 与对照组相比 $P < 0.05$

Fig. 2 Comparison of the concentration of Zn²⁺ in urine between control group and each KOA group.

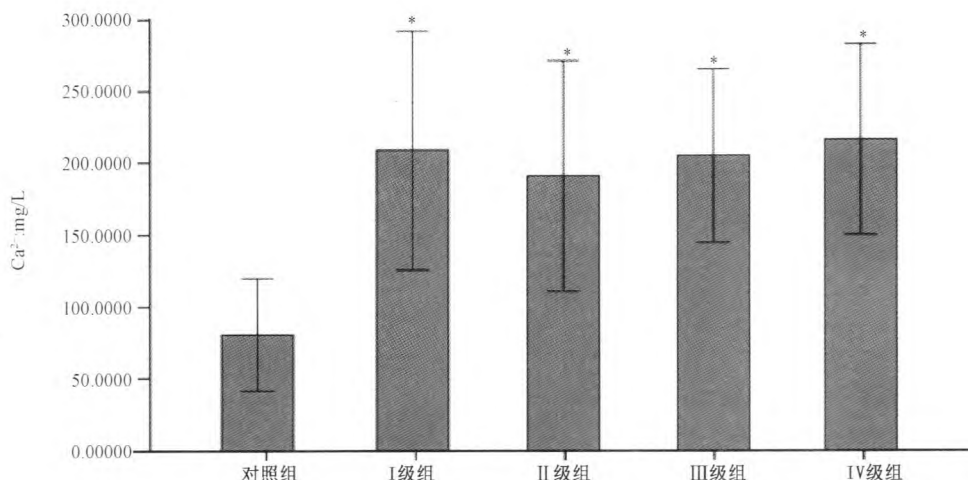
* : compared with control group, $P < 0.05$

[(80.4635 ± 39.3493) mg/L], ($F = 55.379$, $P < 0.000$), 但各 KOA 组之间 $P < 0.05$ 。

3 讨论

OA 是以关节组织不断损坏为特征的疾病, 包括了软骨的磨损与滑膜组织的改变^[4]。在软骨不断磨损的过程中, 软骨含量最丰富的 II 型胶原被酶不断地降解。降解 II 型胶原的酶有几种蛋白酶, 包括由软骨细胞、破骨细胞、滑膜细胞合成的基质金属蛋白酶 (Matrix metalloproteinases, MMPs)^[5]。MMPs 是依赖 Zn^{2+} 、 Ca^{2+} 的蛋白酶家族^[6]。MMP 由前域、

催化域、血液结合素域组成。在催化域中含有锌指结构模体, Zn^{2+} 与三个组氨酸结合。在非激活状态, 存在半胱氨酸开关模体, Zn^{2+} 通过与前域中的半胱氨酸残基结合防止前域被水解, 当半胱氨酸与 Zn^{2+} 的结合被移除后, MMP 就被激活^[7]。有文献报道 Zn^{2+} 可以调节 MMP-3、MMP-9、MMP-12、MMP-13 的活性^[8]。 Ca^{2+} 与催化域结合, 起到维持域的稳定与调节催化活动的作用^[9-11]。有文献报道 Ca^{2+} 可以调节 MMP-1 的活性^[12]。II 型胶原被 MMP-1 水解, 由于结合位点不一样, 导致产生 3/4、1/4 片段^[13]。这些片段在其他的 MMP 与蛋白酶作用下再

图 3 对照组与各 KOA 组 Ca^{2+} 浓度对比*: 与对照组相比 $P < 0.05$ Fig. 3 Comparison of the concentration of Ca^{2+} in urine between control group and each KOA group.*: compared with control group, $P < 0.05$

次被降解, 而 CTX-II 就是降解产物中的一种^[14]。尿 CTX-II 首次由 Christgau 等描述, 是目前最为有效的诊断与评估 OA 的生物标记物^[15-17]。

本研究结果提示, 虽然对照组和 I 级组尿液中 CTX-II 水平相对低, 且无明显差异, 但是有研究报道 II 级才是定义 KOA 影像特征的界限, 并且 I 级有向 II 级发展的趋势, 况且对早期 OA 的定义存在着分歧, 因此 CTX-II 能不能作为 KOA 早期诊断的指标是存在争议的^[18]。OA 是全身性疾病, 老年患者常合并有膝关节、髋关节、踝关节等关节的退变, CTX-II 会受全身软骨状态的影响。软骨的退变受年龄、雌激素、运动等多因素的影响。即使研究分组排除上述干扰因素, 但还可能存在无症状无 X 线改变的关节退变患者影响正常对照组 CTX-II 浓度, 这也是影响 CTX-II 不能作为 KOA 早期诊断的因素之一。随着软骨的逐渐丢失, 骨质暴露, 胶原也应是逐渐的丢失, 本研究结果显示 II 组、III 组、IV 组尿液中 II 型胶原代谢产物 CTX-II 浓度相比对照组与 I 级组逐渐升高, 与疾病的发展符合。但是 CTX-II 与 C2C^[19]一样, 作为 OA 的诊断检测指标过于单一, 说服力不强。

林昂如^[20]等提出元素对关节软骨结构及生理功能有重要作用, 关节液中含有钙及其他多种元素并保持恒定, 以维持关节液渗透压和提供营养病态下这些元素可发生失衡, 不同疾病变化不一, 因此, 测定关节液中多种元素的含量变化有助于诊断。通过定期检测多种元素, 动态观察可以分析疗效。

Reagan^[21]等报告用不同种类和含量的元素配制的溶液培养软骨细胞, 发现不同效果。说明微量元素对软骨细胞再生修复有一定作用。Krachler M^[22,23]等和 Yazar M^[24]等相继提出微量元素测定对 OA 的诊断意义。王声雨^[25]等检测 KOA 患者滑膜组织中 Zn、Ca 等元素的水平和疾病发生、发展的关系, 为骨性关节炎的发病机制研究和诊治提供相关的理论依据。但尿液中元素与 II 型胶原生物标记物 CTX-II、K-L 分级的关系尚缺乏研究。本实验尿液中 Zn^{2+} 、 Ca^{2+} 浓度虽然与 KOA 患者影像学 K-L 分级无相关性, 但是在 I 级的患者与正常对照组比较, 尿液中 Zn^{2+} 、 Ca^{2+} 浓度是升高的, 且有统计学意义。这可能与 MMP 的早期激活有关, 但 II 型胶原又没有被大量降解, 所以 I 级的患者 CTX-II 水平虽然升高, 但是并不是很明显。

本实验基于 KOA 患者影像学改变, 避免了 KOA 患者症状及体征等主观因素的影响, 这一相对客观数据进行分组研究 CTX-II 水平, 揭露了尿液中 CTX-II 水平与 KOA 影像学分级的正相关性, 可作为区分 KOA 严重程度的标志物, 也可作为评价药物及手术治疗 KOA 疗效的参考指标。尿液中 Zn^{2+} 、 Ca^{2+} 浓度虽然与 KOA 患者影像学改变无相关性, 但是在 I 级的患者与正常对照组比较, 尿液中 Zn^{2+} 、 Ca^{2+} 浓度是升高的, 且有统计学意义。通过联合监测尿液 CTX-II 与 Zn^{2+} 、 Ca^{2+} 浓度, 可能为 KOA 的早期诊断提供最简单易行的替代手段, 而且还可能将使社区医疗工作摆脱大型影像设备和常规抽血,

更适合大规模的普查,及早对 KOA 作出诊断,尽量避免或减缓严重后果,提高患者生活质量。但这还需要更大范围、更大样本的实验研究来证实。

[参考文献]

- [1] 翟云,高根德,徐守宇,等.膝关节骨关节炎的基础研究进展[J].中国骨伤,2012,25(1):83-87.
Zhai Y, Gao GD, Xu SY, et al. The basic research process of knee osteoarthritis [J]. China Journal of Orthopaedics and Traumatology, 2012, 25(1):83-87.
- [2] Dlugaszek M, Kaszczuk M, Mularczyk-Oliwa M. Magnesium, calcium, and trace elements excretion in 24-h urine[J]. Biol Trace Elem Res, 2011, 142(1):1-10.
- [3] Nevitt M, Cummings S, Lane N, et al. Association of estrogen replacement therapy with the risk of osteoarthritis of the hip in elderly white women. Study of Osteoporotic Fractures Research Group[J]. Arch Intern Med, 1996, 156(18): 2073-2080.
- [4] Krasnokutsky S, Samuels J, Abramson SB. Osteoarthritis in 2007[J]. Bull NYU Hosp Jt Dis, 2007, 65(3):222-228.
- [5] Sondergaard BC, Henriksen K, Wulf H, et al. Relative contribution of matrix metalloprotease and cysteine protease activities to cytokine-stimulated articular cartilage degradation [J]. Osteoarthritis Cartilage, 2006, 14(8):738-748.
- [6] Ispanovic E, Serio D, Haas TL. Cdc42 and Rho A have opposing roles in regulating membrane type 1-matrix metalloproteinase localization and matrix metalloproteinase-2 activation [J]. Am J Physiol Cell Physiol, 2008, 295(3):C600-610.
- [7] Van Wart H E, Birkedal-Hansen H. The cysteine switch: A principle of regulation of metalloproteinase activity with potential applicability to the entire matrix metalloproteinase gene family [J]. Proc Natl Acad Sci, 1990, 87: 5578-5582.
- [8] Kim JH, Jeon J, Shin M, et al. Regulation of the catabolic cascade in osteoarthritis by the zinc-ZIP8-MTF1 axis[J]. Cell, 2014, 156(4):730-743.
- [9] Seltzer JL, Welgus HG, Jeffrey JJ, et al. The function of Ca in the action of mammalian collagenases [J]. Arch Biochem Biophys, 1976, 173: 355-361.
- [10] Housley TJ, Baumann AP, Braun ID, et al. Recombinant Chinese hamster ovary cell matrix metalloproteinase-3 (MMP-3, stromelysin-1): role of calcium in promatrix metalloproteinase-3 (pro-MMP-3, prostromelysin-1) activation and thermostability of the low mass catalytic domain of MMP-3 [J]. J Biol Chem, 1993, 268: 4481-4487.
- [11] Zhang YN, Dean WL, Gray RD. Cooperative binding of Ca^{2+} to human interstitial collagenase assessed by circular dichroism, fluorescence, and catalytic activity [J]. J Biol Chem, 1997, 272: 1444-1447.
- [12] Paladini RD, Wei G, Kundu A, et al. Mutations in the catalytic domain of human matrix metalloproteinase-1 (MMP-1) that allow for regulated activity through the use of Ca^{2+} [J]. J Biol Chem, 2013, 288(9):6629-6639.
- [13] Welgus HG, Kobayashi DK, Jeffrey JJ. The collagen substrate specificity of rat uterus collagenase [J]. J Biol Chem, 1983, 258:14162-14165.
- [14] Garnero P, Conroy T, Christgau S, et al. Urinary type II collagen C-telopeptide levels are increased in patients with rapidly destructive hip osteoarthritis [J]. Ann Rheum Dis 2003; 62 (10): 939-943.
- [15] Christgau S, Garnero P, Fledelius C, et al. Collagen type II C-telopeptide fragments as an index of cartilage degradation [J]. Bone 2001; 29(3):209-215.
- [16] Valdes AM, Meulenbelt I, Chassaing E, et al. Large scale meta-analysis of urinary C-terminal telopeptide, serum cartilage oligomeric protein and matrix metalloprotease degraded type II collagen and their role in prevalence, incidence and progression of osteoarthritis[J]. Osteoarthritis Cartilage. 2014, 22(5):683-689.
- [17] Ramos YF, Metrstry S, Arden N, et al. Meta-analysis identifies loci affecting levels of the potential osteoarthritis biomarkers sCOMP and uCTX-II with genome wide significance [J]. J Med Genet. 2014, 51(9):596-604.
- [18] Hart DJ, Spector TD. Kellgren & Lawrence grade 1 osteophytes in the knee-doubtful or definite [J]? Osteoarthritis Cartilage, 2003, 11:149-150.
- [19] 江梦谣,唐际存,辛林伟.膝关节骨性关节炎患者尿液中C2C水平检测[J].中国骨质疏松杂志,2014,05:517-520.
Jiang MY, Tang JC, Xin LW. Detection of urine C2C level in patients with knee osteoarthritis [J]. Chinese Journal of Osteoporosis, 2014, 05:517-520.
- [20] 林昂如,金明新,孟庆礼,等.骨关节炎关节液钙及多种微量元素的测定分析[J].中华骨科杂志,1995,05:290.
Lin AR, Jin MX, Meng QL, et al. The determination and analysis of calcium and various trace elements in osteoarthritis joint fluid [J]. Chinese Journal of Orthopaedics, 1995, 05:290.
- [21] Reagan BT. Irrigating solution for arthroscopy [J]. JB One Joint Surg (Am), 1993, 65:629.
- [22] Krachler M, Domej W, Irgolic K J. Concentrations of trace elements in osteoarthritic knee-joint effusions [J]. Biol Trace Elem Res, 2000, 75(1-3): 253-263.
- [23] Krachler M, Domej W. Clinical laboratory parameters in osteoarthritic knee-joint effusions correlated to trace element concentrations. Biol Trace Elem Res, 2001, 79(2): 139-148.
- [24] Yazan M, Sarban S, Kocayigit A, et al. Synovial fluid and plasma selenium, copper, zinc, and iron concentrations inpatients with rheumatoid arthritis and osteoarthritis[J]. Biol Trace Elem Res, 2005, 106(2): 123-132.
- [25] 王声雨,陶树清,荣杰生,等.骨性关节炎滑膜组织中16种元素的分析[J].中国骨与关节杂志,2013,07:375-378.
Wang SY, Tao SQ, Rong JS, et al. Distribution of 16 elements in synovial membrane of patients with osteoarthritis [J]. Chinese Journal of bone and joint, 2013, 07:375-378.

(收稿日期: 2015-06-13)